

## ОБТЕКАНИЕ ЗАТУПЛЕННЫХ ТЕЛ НЕРАВНОВЕСНО-ИОНИЗОВАННЫМ ИЗЛУЧАЮЩИМ ГАЗОМ

*Н. В. Леонтьева, Ю. П. Лунькин, А. А. Фурсенко*

(Ленинград)

### Кинетика ионизации и излучения в ударном слое

Исследуется гиперзвуковое обтекание затупленных тел неравновесно-ионизованным одноатомным невязким излучающим газом. В качестве примера приведен расчет обтекания аргоном тел со сферическим затуплением. В области между фронтом ударной волны и поверхностью тела учитывается столкновительная ионизация через возбужденный уровень и передача энергии от тяжелых частиц электронному газу в результате упругих столкновений электронов с ионами и атомами, а также фотоионизация с основного и возбужденного уровней и поглощение резонансного излучения.

Предполагается, что в ударном слое возбужденные состояния атомов устанавливают равновесие со свободными электронами [1]. При этом скорость изменения заселенности возбужденного состояния можно положить равной нулю и скорость столкновительной ионизации, определяемая разностью между скоростями возбуждения и девозбуждения, дается выражением

$$\dot{n}_+ = \dot{n}_{aa} + \dot{n}_{ea} = [K_e(1, 2)n_e n(1) - K_e(2, 1)n(2)n_e] + \\ + [K_a(1, 2)n_a n(1) - K_a(2, 1)n(2)n_a],$$

где  $n_a = n(1) + n(2)$ . Здесь  $\dot{n}_{ea}$ ,  $\dot{n}_{aa}$  — скорости ионизации электрон-атомным и атом-атомным ударом;  $n_e$  — концентрация электронов;  $n(1)$ ,  $n(2)$  — концентрация атомов в основном и возбужденном состояниях;  $K_e(1, 2)$ ,  $K_e(2, 1)$  — коэффициенты скоростей возбуждения и девозбуждения при электронном ударе;  $K_a(1, 2)$ ,  $K_a(2, 1)$  — коэффициенты скоростей возбуждения и девозбуждения при атомном ударе.

Выведем формулу для скорости ионизации электронным ударом. Поскольку в равновесии все прямые процессы скомпенсированы обратными, то

$$K_e(1, 2)n_e n(1) = K_e(2, 1)n(2)n_e$$

и, следовательно,

$$K_e(2, 1) = K_e(1, 2) \frac{g_1}{g_2} \exp\left(\frac{T_{ex}}{T_e}\right). \quad (1)$$

Используя (1), получим

$$\dot{n}_{ea} = K_e(1, 2)n_e n(1) \left[ 1 - \frac{n(2)}{n(1)} \frac{g_1}{g_2} \exp\left(\frac{T_{ex}}{T_e}\right) \right].$$

Здесь  $g_1$ ,  $g_2$  — статистические веса основного и возбужденного состояний атома;  $T_e$  — температура электронного газа;  $T_{ex}$  — температура возбуждения.

Учитывая, что возбужденные уровни устанавливают равновесие со свободными электронами, имеем [2]

$$\frac{n_e^2}{n(2)} = \frac{g_i}{g_2} \frac{2(2\pi m_e k T_e)^{3/2}}{\hbar^3} \exp\left(-\frac{T_{i2}}{T_e}\right),$$

где  $m_e$  — масса электрона;  $k$  — постоянная Больцмана;  $h$  — постоянная Планка;  $T_{i2} = T_j - T_{ex}$  — потенциал ионизации возбужденного состояния ( $T_j$  — температура ионизации). Поскольку  $T_{ex} \approx T_j$ , то

$$n(1) \approx n_a = (1 - \alpha) \frac{\rho}{m_a}.$$

Здесь  $\alpha$  — степень ионизации,  $\rho$  — плотность газа,  $m_a$  — масса газа. Вводя  $\alpha_E(T_e)$  как решение уравнения Саха и проводя необходимые преобразования, окончательно получим

$$\dot{n}_{ea} = \alpha(1 - \alpha) \left( \frac{\rho}{m_a} \right)^2 K_e(1, 2) \left[ 1 - \frac{\alpha^2}{1 - \alpha} \frac{1 - \alpha_E(T_e)}{\alpha_E^2(T_e)} \right],$$

где  $\alpha_E$  — степень равновесной ионизации газа. Согласно [3],

$$K_e(1, 2) = 2C_e \sqrt{\frac{2}{\pi m_e}} (kT_e)^{3/2} \left( \frac{T_{ex}}{T_a} + 2 \right) \exp \left( -\frac{T_{ex}}{T_e} \right),$$

$$C_e = 4,4 \cdot 10^{-3} \text{ м}^2/\text{Дж} [1].$$

Если атом-атомная ионизация происходит через возбужденный уровень, вывод выражения для  $n_{aa}$  аналогичен выводу выражения для  $n_{ea}$

$$\dot{n}_{aa} = (1 - \alpha)^2 \left( \frac{\rho}{m_a} \right)^2 K_a(1, 2) \left[ 1 - \frac{\alpha^2}{1 - \alpha} \frac{1 - \alpha_E(T_e)}{\alpha_E^2(T_e)} \exp \left( \frac{T_{ex}}{T_e} - \frac{T_{ex}}{T_a} \right) \right].$$

Коэффициент скорости  $K_a(1, 2)$ , приведенный в [3], имеет вид:

$$K_a(1, 2) = 2C_{aex} \sqrt{\frac{1}{\pi m_a}} (kT_a)^{3/2} \left( \frac{T_{ex}}{T_a} + 2 \right) \exp \left( -\frac{T_{ex}}{T_a} \right),$$

$C_{aex} = 1,56 \cdot 10^{-5} \text{ м}^2/\text{Дж}$  [4]. Если атом-атомная ионизация происходит прямо из основного состояния, то

$$\dot{n}_{aa} = (1 - \alpha)^2 \left( \frac{\rho}{m_a} \right)^2 \frac{2C_{ag}}{(\pi m_a)^{1/2}} (kT_a)^{3/2} \left( \frac{T_j}{T_a} + 2 \right) \exp \left( -\frac{T_j}{T_a} \right),$$

$$C_{ag} = 7,5 \cdot 10^{-6} \text{ м}^2/\text{Дж} [5].$$

Заметим, что при выводе выражений  $\dot{n}_{ea}$ ,  $\dot{n}_{aa}$  и функции источника в уравнении переноса излучения в [3] была допущена ошибка. Такие же ошибочные выражения использовались позднее в [6, 7]. Как показали наши исследования, отмеченная ошибка является существенной. В частности, профиль лучистого потока, рассчитанный с использованием функции источника из [3], имеет два максимума [6]. Расчет по правильной формуле дает, как и следовало ожидать, только один максимум.

Электронный газ получает энергию от тяжелых частиц при упругих столкновениях электрон — ион и электрон — атом. Скорости этих процессов равны соответственно:

$$\omega_{ie} = \left( \frac{\rho}{m_a} \right)^2 \alpha^2 \frac{e^4}{m_a} \left( \frac{8\pi m_e}{kT_e} \right)^{1/2} \left( \frac{T_a}{T_e} - 1 \right) \ln \left[ \frac{9(kT_e)^3}{4\pi n_e e^6} + 1 \right],$$

$$\omega_{ae} = \left( \frac{\rho}{m_a} \right)^2 \alpha(1 - \alpha) \frac{24\sigma}{m_a} \left( \frac{2m_e}{\pi} \right)^{1/2} \left( \frac{T_a}{T_e} - 1 \right) (kT_e)^{5/2} \left[ 1 - \frac{C_1}{T_e} + \frac{C_2}{T_e(1 + C_3 T_e)^3} \right],$$

где  $\sigma = 0,14 \text{ м}^2/\text{Дж}$ ;  $C_1 = 0,18 \cdot 10^4 \text{ К}$ ;  $C_2 = 0,28 \cdot 10^4 \text{ К}$ ;  $C_3 = 1,8 \cdot 10^{-4} \text{ 1/К}$  [5].

Скорость фотоионизации основного уровня  $\dot{n}_{gr}$  и выражение для потока лучистой энергии  $q$  приведены в [8, 9]. В наших расчетах принималась «ступенчатая» аппроксимация коэффициента поглощения  $\chi$  от частоты  $v$ . Для учета излучения континуума с возбужденного уров-

ня в ударном слое была принята модель объемного высвечивания [10].

Наряду с указанными выше механизмами учитывался и перенос излучения в резонансной линии ( $3p^6 \text{ } ^1S_0 - 3p^5 4S^1 p_1$ ). Для этого рассматривалось решение соответствующего уравнения переноса излучения. В нашем случае при расчете коэффициента резонансного поглощения  $k_v$  учитывались допплеровское, резонансное и штарковское усиление линии [11]. Одновременный учет этих эффектов приводит к следующему выражению для  $k_v$  [12]

$$k_v = k_0 \frac{a}{\pi} \int_{-\infty}^{\infty} \frac{\exp(-y^2) dy}{a^2 + (\omega - y)^2},$$

где  $k_0$  — коэффициент поглощения в центре линии. Тогда исходная система уравнений запишется в виде:

$$\frac{\partial u}{\partial r} + \frac{1}{r} \frac{\partial v}{\partial \theta} + \frac{u}{\rho} \frac{\partial \rho}{\partial r} + \frac{v}{\rho r} \frac{\partial \rho}{\partial \theta} + \frac{2u}{r} + \frac{v}{r} \operatorname{ctg} \theta = 0, \quad (2)$$

$$u \frac{\partial u}{\partial r} + \frac{v}{r} \frac{\partial u}{\partial \theta} - \frac{v^2}{r} = - \frac{1}{\rho} \frac{\partial \rho}{\partial r}, \quad (3)$$

$$u \frac{\partial v}{\partial r} + \frac{v}{r} \frac{\partial v}{\partial \theta} + \frac{uv}{r} = - \frac{1}{\rho r} \frac{\partial \rho}{\partial \theta}, \quad (4)$$

$$\left( \rho u \frac{\partial}{\partial r} + \frac{\rho v}{r} \frac{\partial}{\partial \theta} \right) \left[ \frac{V^2}{2} + \frac{3}{2} R (T_a + \alpha T_e) + \alpha R T_i \right] = - \frac{\partial q}{\partial r}, \quad (5)$$

$$\begin{aligned} \left( \rho u \frac{\partial}{\partial r} + \frac{\rho v}{r} \frac{\partial}{\partial \theta} \right) \left[ \frac{5}{2} R T_e \alpha \right] = & \omega_{ae} + \omega_{ie} - k T_i \dot{n}_{ea} + \frac{3}{2} k T_0 \dot{n}_{aa} + \\ & + k T_e \dot{n}_{gr} - k T_i \dot{n}_{ex} - e n_e \underline{E} \cdot \underline{U}, \end{aligned} \quad (6)$$

$$\begin{aligned} \rho u \frac{\partial \alpha}{\partial r} + \frac{\rho v}{r} \frac{\partial \alpha}{\partial \theta} = & m_a (\dot{n}_{rad} + \dot{n}_{ea} + \dot{n}_{rad}) \\ (\dot{n}_{rad} = \dot{n}_{gr} + \dot{n}_{ex}), \end{aligned} \quad (7)$$

$$\frac{m_e}{m_a} \rho_i (\underline{V} \nabla) \underline{V} = - \nabla p_e - e n_e \underline{E}, \quad (8)$$

$$p = \rho R (T_a + \alpha T_e). \quad (9)$$

Здесь  $V$ ,  $u$ ,  $v$  — вектор скорости и его составляющие по радиус-вектору  $r$  и по нормали к нему;  $\theta$  — полярный угол;  $\rho$  — полное давление;  $E$  — напряженность поля поляризации;  $R$  — удельная газовая постоянная;  $\rho_i$  — плотность ионного газа;  $T_0$  — температура, которую имеют электроны, образовавшиеся в результате атом-атомных столкновений. Поскольку нет достаточно надежных данных относительно энергий, образующихся за счет этой реакции электронов, принималось  $T_0 \approx T_{eb}$ .

В отличие от [6] в системе уравнений (2)–(9) учтено поле поляризации, препятствующее разделению зарядов [13]. К ним необходимо добавить уравнение переноса излучения для континуума, которое в приближении локально-одномерного слоя приведено в [8, 9], и для резонансной линии.

Границные условия к системе уравнений (2)–(9) аналогичны условиям в [6, 9], за исключением соотношения для электронной температуры, учитывающего адиабатическое сжатие электронного газа в скачке

$$T_{eb} = \left( \frac{\rho_b}{\rho_\infty} \right)^{\gamma-1} \cdot T_{e\infty},$$

где  $\gamma$  — отношение удельных теплоемкостей.

Предполагалось, что значение степени ионизации  $\alpha$  при переходе через фронт ударной волны не терпит разрыва. Вопрос о величине  $\alpha$  перед фронтом будет рассмотрен ниже. Исходная система уравнений была переписана в координатах  $\theta$ ,  $\xi$  ( $\xi = r - r_t/r_b - r_t$ ,  $r_t$  и  $r_b$  — радиус-векторы поверхности тела и волны) и обезразмерена так же, как в [9].

### Расчет параметров в прогревном слое

В прогревном слое, который по сравнению с ударным характеризуется значительно более низкой температурой и концентрацией электронов, определяющим процессом является ионизация и возбуждение атомов при поглощении выходящего из ударного слоя излучения. В отличие от [10, 14] в настоящей работе кроме поглощения излучения в прогревном слое были рассмотрены столкновительные процессы с участием возбужденного уровня.

Используя результаты [1, 15] и проведя преобразования, аналогичные сделанным при выводе скоростей реакций в ударном слое, получим

$$\begin{aligned} \dot{n}_{12} &= \alpha(1 - \alpha - \alpha^*) \rho^2 \frac{4C_e}{m_a V^{2\pi}} \sqrt{\frac{m_a}{m_e}} (RT_e)^{3/2} \left[ \frac{T_{ex}}{T_e} + 2 \right] \times \\ &\quad \times \exp\left(-\frac{T_{ex}}{T_e}\right) \cdot \left[ 1 - \frac{\alpha^*}{1 - \alpha - \alpha^*} \frac{g_1}{g_2} \exp\left(\frac{T_{ex}}{T_e}\right) \right], \\ \dot{n}_{23} &= \alpha\alpha^* \rho \frac{1}{(RT_e)^{3/2}} \cdot \frac{4\pi e^4}{V^{2\pi m_e m_a \cdot m_a^3}} \left[ \frac{T_e}{T_{i2}} \exp\left(-\frac{T_{i2}}{T_e}\right) - E_1\left(\frac{T_{i2}}{T_e}\right) \right] \times \\ &\quad \times \left[ 1 - \frac{\alpha^2 \rho}{\alpha^* \rho_i} \left( \frac{T_j}{T_e} \right)^{3/2} \frac{g_2}{g_1} \exp\left(\frac{T_{i2}}{T_e}\right) \right]. \end{aligned}$$

Поскольку протяженность прогревного слоя много больше характерного размера тела [10], исходную систему уравнений можно записать в виде

$$\begin{aligned} \rho u &= const, \\ u \frac{du}{dr} &= -\frac{1}{\rho} \frac{dp}{dr}, \\ \rho u \frac{d}{dr} \left( \frac{u^2}{2} + E + \frac{p}{\rho} \right) &= -\frac{dq}{dr} - \rho \alpha^* A_{21} g_{t_2} \frac{h v_{12}}{m_a}, \\ \rho u \frac{d}{dr} \left( \frac{5}{2} RT_e \alpha \right) - u \frac{d}{dr} (RT_e \alpha \rho) &= \omega_{ae} + \omega_{ie} - k T_{i2} \dot{n}_{23} - \\ &\quad - k T_{ex} \dot{n}_{12} - k T_1 (\dot{n}' + \dot{n}_{gr}), \\ \rho u \frac{d\alpha}{dr} &= m_a [\dot{n}_{23} + \dot{n}_{gr} + \dot{n}'], \\ \rho u \frac{d\alpha^*}{dr} &= m_a \left[ \dot{n}_{12} - \dot{n}_{23} + \dot{n}_{ex} - \dot{n}' - \rho \alpha^* \frac{A_{21} g_{t_2}}{m_a} \right], \\ p &= \rho R (T_a + \alpha T_e). \end{aligned}$$

Здесь  $\alpha^*$  — относительная концентрация возбужденных атомов,  $\dot{n}_{gr}$ ,  $\dot{n}'$ ,  $\dot{n}_{ex}$  — скорости фотоионизации с основного и возбужденного состояний и фотовозбуждения;  $g_{t_2}$  — Гаунт-фактор.

### Метод решения и некоторые результаты

Метод решения задачи, как и в [9], сводится к двойным итерациям. Внутренний итерационный цикл заключается в нахождении положения и формы ударной волны при заданном распределении поля из-

лучения, в то время как само поле излучения определяется во внешнем итерационном цикле. В качестве начальной итерации принимается течение при отсутствии излучения. Внешний итерационный цикл продолжается до тех пор, пока на двух последовательных итерациях не совпадут с заданной степенью точности как газодинамические, так и радиационные поля.

Расчеты показали, что в интервале рассмотренных условий учет как резонансного излучения, так и прогревного слоя слабо влияет на положение ударной волны и газодинамические поля ударного слоя. Основную роль в образовании затравочных электронов, необходимых

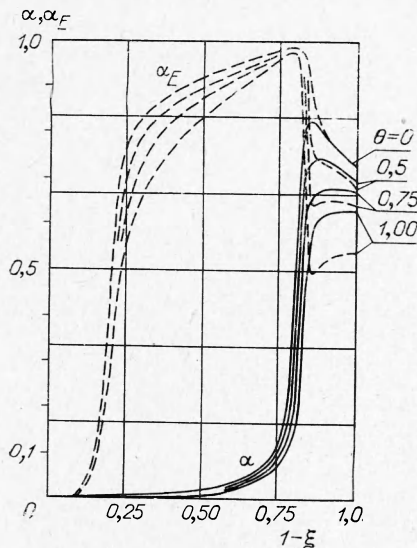


Рис. 1.

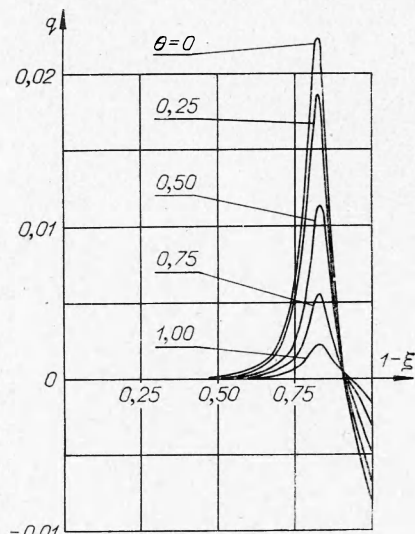


Рис. 2.

для начала электронной лавины, играет атом-атомная ионизация через возбужденный уровень.

Так, для  $M_\infty=32$ ,  $p_\infty=100 \text{ Н/м}^2$ ,  $T_{a\infty}=T_{e\infty}=300^\circ \text{ К}$  тепловой поток резонансного излучения на тело составляет меньше 20% от лучистого теплового потока в континууме с основного уровня, а величина отхода ударной волны с учетом прогревного слоя и резонансного излучения всего на 2% меньше величины отхода, полученной без учета этих механизмов. Поэтому большинство расчетов было выполнено с учетом только излучения континуума с основного уровня.

В качестве примера рассмотрено распределение параметров на расчетных лучах  $\theta=0; 0,25; 0,5; 0,75; 1,00$  рад при обтекании сферического затупления радиусом 0,04 м с коэффициентом черноты поверхности  $\delta=0,5$  и условиями в набегающем потоке:  $M_\infty=30$ ,  $p_\infty=150 \text{ Н/м}^2$ ,  $T_{a\infty}=T_{e\infty}=300^\circ \text{ К}$ . Величина степени ионизации на фронте ударной волны определялась из условия полного поглощения излучения, выходящего с фронта. На рис. 1 приведены значения  $\alpha(\xi, \theta)$  и  $\alpha_E(\xi, \theta)$ . Видно, что с увеличением  $\theta$  степень ионизации  $\alpha$  падает. При учете излучения вблизи поверхности тела появляется радиационный энтропийный слой, характеризующийся понижением  $\alpha$  и температур  $T_a$  и  $T_e$ . При растекании газа вдоль ударного слоя происходит понижение равновесного значения степени ионизации  $\alpha_E$ , определяемого из уравнения Саха при температуре  $T_e$ . С ростом  $\theta$  все большую роль играет рекомбинация. Видно, что из-за сравнительно малой скорости рекомбинации значения  $\alpha$  на верхних лучах могут значительно превышать соответствующие равновесные значения  $\alpha_E$ .

Рис. 2 отражает изменение безразмерного значения лучистого потока  $q$  поперек ударного слоя на расчетных лучах. С увеличением угла  $\theta$  максимум лучистого потока из околоволновесной области резко убывает. В области максимальных градиентов  $\alpha$  линейный характер изменения нормальной составляющей скорости нарушается. Так на верхнем луче ( $\theta=1$  рад) вблизи поверхности тела  $u$  меняет знак и приближается к нулю из положительной области.

Подведем итоги проведенной работы.

Рассмотрено гиперзвуковое обтекание сферического затупления неравновесно-ионизованным одноатомным невязким излучающим газом с учетом опережающего излучения. Для расчета параметров течения была решена система газодинамических уравнений совместно с уравнениями переноса излучения. В интервале рассмотренных параметров учет резонансного излучения слабо влияет на положение ударной волны и газодинамические поля в ударном слое. Показано, что из-за сравнительно малой скорости рекомбинации значения степени ионизации на верхних лучах могут значительно превышать соответствующие равновесные значения.

Поступила в редакцию  
21/V 1973

#### ЛИТЕРАТУРА

1. H. E. Petschek, S. Bugon. Ann. of Phys., 1957, 1, 270.
2. Ю. Рихтер. В сб. «Методы исследования плазмы». Под ред. В. Лохте-Хольтгревена. М., «Мир», 1971.
3. C. E. Chapin. Purdue Univ. Report AA&ES, 1967, 67, 9.
4. T. I. McLaren, R. M. Hobson. Phys. Fluids, 1968, 11, 10.
5. Л. М. Биберман, И. Т. Якубов. ЖТФ, 1963, 33, 11.
6. Л. Б. Гавин, Ю. П. Лунькин. ПМТФ, 1972, 1.
7. Н. F. Nelson, R. Gouillard. Phys. Fluids, 1969, 12, 8.
8. J. N. Clarke, C. Ferragut. Phys. Fluids, 1965, 8, 12.
9. М. Д. Кременецкий, Н. В. Леонтьева, Ю. П. Лунькин. ПМТФ, 1971, 4.
10. Р. А. Доббинс. Ракетная техника и космонавтика, 1970, 8, 3.
11. Г. Грим. Спектроскопия плазмы. М., Атомиздат, 1969.
12. Р. Эмрих, Р. И. Солоухин. ФГВ, 1972, 8, 1.
13. Я. В. Зельдович, Ю. П. Райзнер. Физика ударных волн и высокотемпературных гидродинамических явлений. М., «Наука», 1966.
14. А. К. Кондря, Н. В. Леонтьева. ПМТФ, 1972, 4.
15. S. S. R. Murgu. JQSRT, 1968, 8.

УДК 566.468+532.5

#### О РЕШЕНИИ НЕКОТОРЫХ ОБРАТНЫХ ЗАДАЧ АЭРОТЕРМОХИМИИ

A. M. Гришин, A. Я. Кузин

(Томск)

Для расчетов процессов воспламенения, горения и тепломассообмена реагирующего твердого тела с высокоэнталпийным потоком газа необходимо знать термокинетические постоянные (энергии активации и предэкспоненты) гетерогенных химических реакций.

Из обзора методов определения термокинетических постоянных [1] следует, что в настоящее время определяют термокинетические постоянные при помощи характеристик воспламенения, анализа кривых